

МИНИСТЕРСТВО НАУКИ И ВЫСШЕГО ОБРАЗОВАНИЯ РОССИЙСКОЙ
ФЕДЕРАЦИИ

РОССИЙСКАЯ АКАДЕМИЯ НАУК

ФЕДЕРАЛЬНОЕ ГОСУДАРСТВЕННОЕ БЮДЖЕТНОЕ УЧРЕЖДЕНИЕ НАУКИ
ИНСТИТУТ ЭКСПЕРИМЕНТАЛЬНОЙ МИНЕРАЛОГИИ
ИМЕНИ АКАДЕМИКА Д.С. КОРЖИНСКОГО
РОССИЙСКОЙ АКАДЕМИИ НАУК

РОССИЙСКИЙ ФОНД ФУНДАМЕНТАЛЬНЫХ ИССЛЕДОВАНИЙ

РОССИЙСКОЕ МИНЕРАЛОГИЧЕСКОЕ ОБЩЕСТВО

**IX ВСЕРОССИЙСКАЯ ШКОЛА
МОЛОДЫХ УЧЕНЫХ
«ЭКСПЕРИМЕНТАЛЬНАЯ
МИНЕРАЛОГИЯ,
ПЕТРОЛОГИЯ И ГЕОХИМИЯ»**

СБОРНИК МАТЕРИАЛОВ

2-3 ноября 2018 г.

Черноголовка

**ОБРАЗОВАНИЕ ХРОМИСТОГО ПРАЙДЕРИТА В РЕЗУЛЬТАТЕ
ВЗАИМОДЕЙСТВИЯ ХРОМИТА И РУТИЛА С КАЛИЕВЫМ ВОДНО-
КАРБОНАТНЫМ ФЛЮИДОМ ПРИ 5.0 ГПА**

Воробей С.С.¹, Бутвина В.Г.², Сафонов О.Г.^{2,1}, Варламов Д.А.²

¹МГУ им. М.В.Ломоносова, г. Москва, e-mail: patesonchic77@mail.ru

²ИЭМ РАН им. Д.С.Коржинского, г. Черноголовка, e-mail: butvina@iem.ac.ru

Введение. Прайдерит - титанат группы голландита, являющийся сложным твердым раствором в системе $A^{2+}B^{2+}Ti_7O_{16}-A^{2+}B^{2+}Ti_7O_{16}-A^{2+}B^{3+}Ti_6O_{16}-A^{2+}B^{3+}Ti_6O_{16}$, где A=Ba, K, Na, Pb; B=Mg, Fe²⁺, Fe³⁺, Al, Cr, замещающие Ti. Прайдерит является типоморфным минералом лампроитов. Он впервые был описан Р. Прайдером в лейцитовых лампроитах Кимберли, Западная Австралия [1], а его рamanовские спектры впервые были получены К. Норришем [2]. Помимо этого, прайдерит известен в перидотитовых ксенолитах из кимберлитов [5], а также в виде включений в алмазах. При этом хромодоминантная разновидность прайдерита чрезвычайно редка. Такой минерал встречается исключительно в метасоматизированных перидотитах [3-5 и ссылки в этих работах]. Его образование связывают с проникновением в перидотиты богатых щелочами флюидов (расплавов) с низкой активностью SiO₂ [4] и их реакциями с хромсодержащими минералами, прежде всего, хромитом.

Стабильность K-Ba-прайдерита и его Fe³⁺, Fe²⁺-содержащих разновидностей исследовалась в экспериментах по синтезу этого минерала из смесей оксидов и простых титанатов при давлениях 3.5 и 5 ГПа [6]. Было показано, что при этих давлениях прайдерит стабилен до температур порядка 1500°C, что подтверждает его возможность существования с алмазом в условиях верхней мантии. Синтез хромсодержащего прайдерита, несодержащего Ba, ранее не проводился. Не исследовалась также возможность образования этого минерала при взаимодействии минералов перидотитов со щелочными флюидами различного состава.

В данной работе приведены результаты первых экспериментов по синтезу хромистого прайдерита в системе хромит– рутил – K₂CO₃ – H₂O-CO₂ при 5 ГПа и 1200°C.

Стартовые вещества. В качестве стартовых веществ использовались смеси природного хромита и синтетического порошка TiO₂ (1:1). Был использован хромит из ксенолита гранатового лерцолита кимберлитовой трубы Пионерская, Якутия [8]. Состав этой шпинели (Mg_{0.70}Fe_{0.29-0.30}Mn_{0.01})(Al_{0.97-1.12}Cr_{0.82-0.97}Fe_{0.05}Ti_{0.01})O₄. Смесь хромит+TiO₂ смешивалась со смесью K₂CO₃ и шавелевой кислотой (9:1) в соотношении 4:1 по массе.

Техника эксперимента. Эксперименты проводились на аппарате высокого давления «наковальня с лункой» НЛ-13Т в ИЭМ РАН.

Методы исследования. Исследование химического состава проводилось методом рентгеноспектрального микроанализа с применением растрового электронного микроскопа TescanVega-II XMU (режим EDS, ускоряющее напряжение 20 кВ, ток 400 пА), оснащенного системой регистрации рентгеновского излучения и расчёта состава образца INCA Energy 450. Диаметр электронного пучка составил 157 – 180 нм (для анализа химического состава) и 60 нм (для получения изображений) [7]. Исследования рamanовских спектров прайдерита в продуктах опытов проводились с использованием Раман-спектрометра RenishawRM1000, оснащенном микроскопом Leica, в лаборатории физических исследований ИЭМ РАН. Использовался твердотельный лазер с диодной накачкой с длиной волны излучения 532 нм мощностью 20 мВт. Спектры регистрировались при 50-кратном увеличении в течение 100 сек.

Результаты эксперимента. В продуктах опытов с хромитом в отсутствии TiO₂ никакие калиевые оксидные фазы не были обнаружены. Лишь в продуктах опытов со смесью хромит+TiO₂ при 1200°C были идентифицированы хромит, рутил и K-Cr прайдерит. Зерна прайдерита размером до 40 мкм обладают как ксеноморфной, так и субдиоморфной вытянутой формой с соотношением граней 1: 3 (рис. 1а, б). Встречаются как отдельные зерна прайдерита, так и его включения в рутиле (рис. 1б). Представительные составы синтетического прайдерита представлены в таблице 1.

Раман-спектроскопия. Рамановские спектры хромсодержащего прайдерита были получены в интервале 150 -1200 см⁻¹.

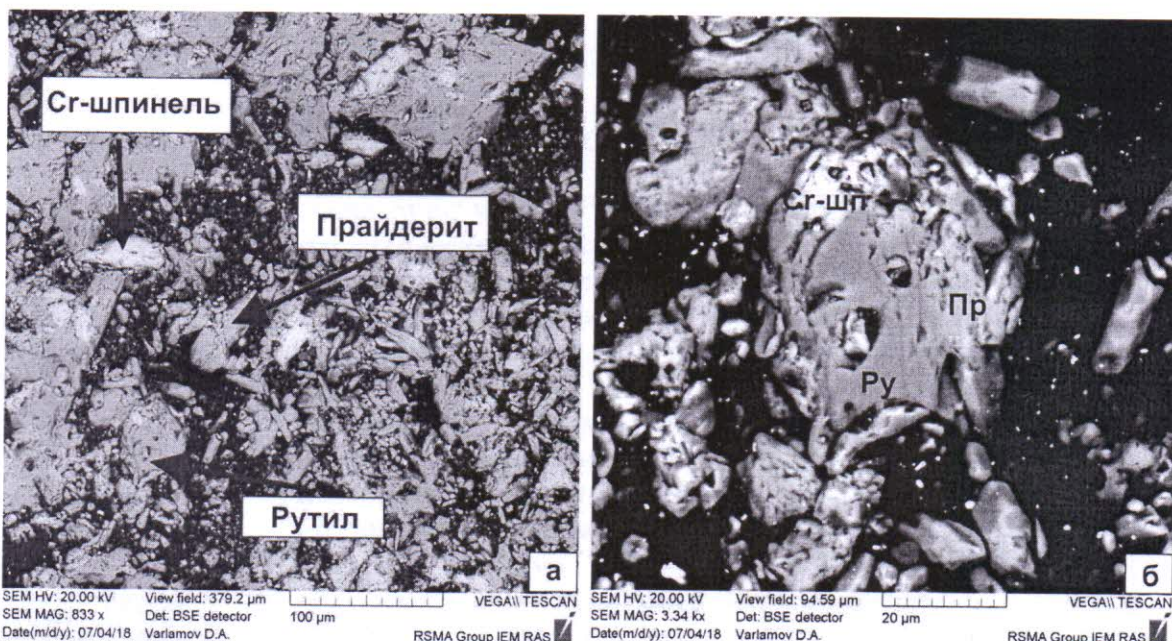


Рис.1. Продукты эксперимента в системе хромит-рутил-К-водно-карбонатный флюид при 5 ГПа и 1200°С: хромит, прайдерит и рутил.

Они характеризуется тремя интенсивными пиками на 159, 359 и 692 см⁻¹, что согласуется со спектрами природного K-Cr-прайдерита, приведенными в работах [3,4] (рис.2). Тем не менее, полученный спектр синтетического прайдерита отличается от спектров природного K-Cr-прайдерита тем, что главные пики заметно смещены в область более высоких волновых чисел. Это, по-видимому, связано с отсутствием Ва в составе синтезированного прайдерита.

Таблица 1

Представительные анализы K-Cr-прайдерита, полученного при взаимодействии хромита и рутила с водно-щелочным флюидом при 5 ГПа и 1200°С.

№№	4	5	7	8	9	10	11	13
TiO ₂	69,45	69,03	71,6	69,77	69,41	69,96	70,54	70,94
Cr ₂ O ₃	15,62	16,45	15,2	16,76	16,27	17,1	17,19	16,21
FeO	0,83	0,5	0,26	0,84	0,85	0,33	0,72	0,48
Al ₂ O ₃	0,91	0,89	0,98	0,67	0,49	0,33	0,77	0,47
K ₂ O	11,26	11,39	11,21	11,29	11,37	11,29	11,53	10,59
MnO	0,37	0,03	0,13	0,18	0	0,13	0,21	0,01
MgO	0,68	0,51	0,56	0,67	0,63	0,72	0,78	0,73
Сумма	99,12	98,8	99,94	100,18	99,02	99,86	101,74	99,43
Формульные количества на 16 O								
Ti	6,23	6,22	6,34	6,20	6,25	6,24	6,18	6,32
Cr	1,47	1,56	1,42	1,57	1,54	1,60	1,58	1,52
Fe ³⁺	0,07	0,05	0,02	0,07	0,08	0,03	0,06	0,04
Al	0,13	0,13	0,14	0,09	0,07	0,05	0,11	0,07
K	1,71	1,74	1,68	1,70	1,74	1,71	1,71	1,60
Mn	0,04	0,00	0,01	0,02	0,00	0,01	0,02	0,00
Mg	0,12	0,09	0,10	0,12	0,11	0,13	0,14	0,13

Заключение. Впервые был синтезирован хромистый прайдерит, несодержащий Ba. Проведенные эксперименты впервые показали возможность кристаллизации этого минерала в результате реакции высокохромистой шпинели и рутила с калиевым водно-карбонатным флюидом (расплавом) в условиях верхней мантии. В частности, эти результаты позволяют интерпретировать взаимосвязь K-Cr-прайдерита с карбонатно-силикатными включениями в хромитах гранатовых перidotитов Богемского массива [3]. Однако эксперименты показали, что даже богатый хромом прайдерит не образуется по хромиту напрямую, а требует присутствия Ti-содержащих фаз.

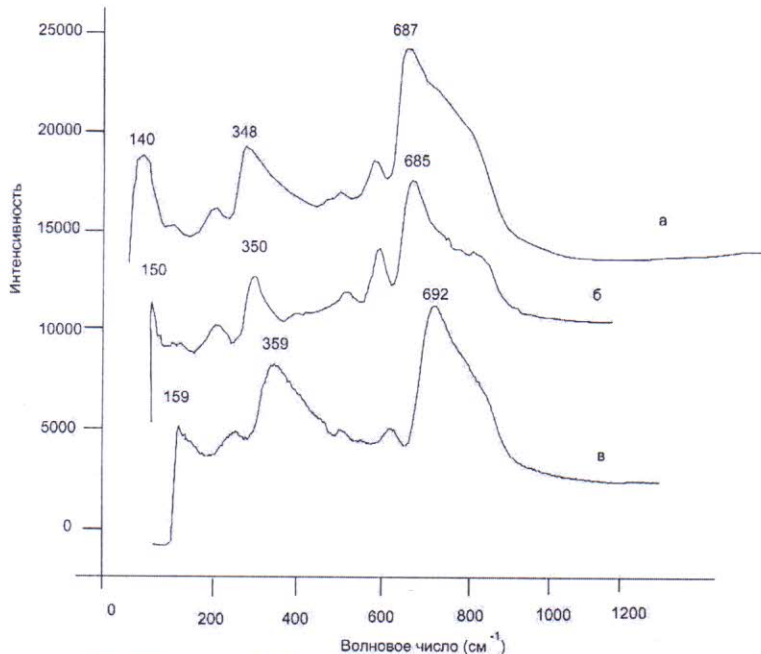


Рис. 2. Рамановские спектры: а) K-Cr-прайдерит из метасоматизированных перidotитов из кимберлитов Ю.Африки [4]; б) K-Ba-Cr-прайдерит из включений в хромитах гранатовых перidotитов Богемского Массива, Чехия[3]; в) экспериментально полученный K-Cr-прайдерит (данная работа).

Авторы благодарят Г.В. Бондаренко (ИЭМ РАН) за помощь в работе с Раман-спектрометром. Работа выполнена при поддержке Российского Фонда Фундаментальных Исследований (проект 16-05-00266).

Литература:

1. Prider R. T., 1939. Some minerals from the leucite-rich rocks of the west Kimberley area, Western Australia // Min. Mag., V. 25, pp. 373-387.
2. Norrish K. 1951. Priderite, a new mineral from the leucitelamproites of the West Kimberley area, Western Australia // Mineralogical Magazine. V. 73, pp. 1007–1024.
3. Naemura K., Shimizu I., Svojtka M., Hirajima T. 2015. Accessory priderite and burbanite in multiphase solid inclusions in the orogenic garnet peridotite from the Bohemian Massif, Czech Republic // Journal of Mineral. and Petrol. Sciences. V. 110, pp. 20-28.
4. Konzett J., Wirth R., Hauzenberger Ch., Whitehouse M. 2013. Two episodes of fluid migration in the Kaapvaal Craton lithospheric mantle associated with Cretaceous kimberlite activity: Evidence from a harzburgite containing a unique assemblage of metasomatic zirconium-phases // Lithos. V. 182-183, pp. 165-184.
5. Haggerty S.E., 1987 Metasomatic mineral titanates in upper mantle xenoliths. In Mantle Xenoliths (Nixon, P. H., ed.). J. Wiley and Sons Ltd., Chichester, 671-90.
6. Foley S., Hofer H., Brey G. 1994. High-pressure synthesis of priderite and members of lindsleyite-mathiasite and hawthorneite-yimengite series // Contrib. Mineral. Petro., V. 117, pp. 164-174.
7. Ермолаева В.Н., Чуканов Н.В., Янчев С., Ван К.В. 2016. Эндогенный парагенезис несульфидных минералов халькоильных элементов в орогенной зоне «смешанной серии» Пелагонийского массива, Македония // Новые данные о минералах. Вып. 51. С. 12-19.
8. Чуканов Н.В., Воробей С.С., Ермолаева В.Н., Варламов Д.А., Плечов П.Ю., Янчев С., Бовкун А.В. Новые данные о химическом составе и колебательных спектрах минералов группы магнетоплюмита // ЗРМО. 2018. Т. 147. №3. С. 44-58. DOI 10.30695/zrmo/2018.1473.03 <https://elibrary.ru/item.asp?id=34999793>